

90-560



сообщения  
объединенного  
института  
ядерных  
исследований  
дубна

P1-90-560

ФРАГМЕНТАЦИЯ ЯДЕР КИСЛОРОДА  
ВО ВЗАИМОДЕЙСТВИЯХ С ВОДОРОДОМ  
ПРИ ИМПУЛЬСЕ 3,1 А ГэВ/с

1990

Исследование процессов фрагментации ядер вызывает в последние годы возрастающий интерес<sup>11</sup>. Он обусловлен, главным образом, поиском экспериментально наблюдаемых проявлений фазовых переходов в горячей ядерной материи, возможное существование которых широко обсуждается в рамках различных теоретических подходов. Предполагается, что одним из проявлений фазового перехода типа жидкость — газ в ядерном веществе может быть процесс мультифрагментации, когда высоковозбужденное ядро, образованное в результате соударения, "взрывается" с испусканием большого числа фрагментов<sup>12</sup>.

За последнее время разработано большое число различных моделей мультифрагментации, однако вопрос о механизме этого процесса продолжает оставаться открытым. В значительной степени это связано с характером существующей экспериментальной информации, которая включает в основном инклузивные характеристики фрагментов; данных об эксклюзивных каналах мультифрагментации, чувствительных к механизмам процесса, чрезвычайно мало и они не систематизированы.

В данной работе представлены экспериментальные данные о фрагментации ядер кислорода в  $^{16}\text{O}$ -взаимодействиях при  $3,1 \text{ A ГэВ/с}$ . Хотя число нуклонов в ядре кислорода недостаточно велико, чтобы рассчитывать на проявление фазового перехода, мы надеемся, что детальное исследование множественного образования фрагментов на легком ядре позволит надежно установить механизм реакции. Особенностью данного эксперимента<sup>13</sup>, выполненного на однометровой водородной пузырьковой камере ОИЯИ, является высокая точность импульсных измерений, позволяющая проводить идентификацию зарядов и масс фрагментов и получить сведения о характеристиках каналов фрагментации ядер кислорода. Статистика эксперимента составляет 17448 событий, зарегистрированных в рабочей области камеры. Для целей настоящей работы было смоделировано более 22000 событий.

Экспериментальные данные сопоставляются с предсказаниями каскадно-фрагментационно-испарительной модели (КФИМ) протон-ядерных реакций при средних энергиях<sup>14</sup>. Основное различие между КФИМ и стандартной версией каскадно-испарительной модели, учитывающей трейлинг-эффект<sup>15</sup>, состоит во включении стадии мультифрагментного раз渲а. Общая схема расчета неупругого протон-ядерного взаимодействия выглядит следующим образом.

1. Моделируется внутриядерный каскад, инициированный налетающим протоном. Определяются характеристики всех быстрых нуклонов и пионов, покинувших ядро-мишень, а также характеристики ядра-остатка ( $E_0$ ,  $A_0$ ,  $Z_0$ ,  $P_0$ );

2. Моделируется развал горячего ядра-остатка с заданными значениями  $E_0$ ,  $A_0$ ,  $Z_0$ ,  $P_0$  (испарение или мультифрагментация). Учитывается влияние переносного импульса  $P_0$  на кинематические характеристики продуктов распада.

3. Моделируется девозбуждение каждого из образовавшихся фрагментов.

В каждом разыгранным событии протон-ядерного взаимодействия выполняются законы сохранения энергии-импульса, заряда и числа нуклонов. При этом характерное время протекания быстрой стадии внутриядерного каскада сравнимо с временем пролета налетающей частицы через ядро:  $\tau_{cas} \sim 10^{-22}$  с. Дальнейшая эволюция образовавшегося ядра-остатка зависит от величины его энергии возбуждения. При сравнительно невысокой энергии возбуждения ( $E_0 \leq 2$  МэВ/нуклон) ядро-остаток последовательно испускает (испаряет) частицы. Характерное время девозбуждения компаунд-ядра на несколько порядков превышает время внутриядерного каскада. При высокой энергии возбуждения, сравнимой с полной энергией связи ядра, ядро-остаток испытывает быстрый по сравнению с испарением взрывной развал на много частей (мультифрагментацию). Время формирования фрагментов при этом в несколько раз больше ( $\tau_{for} \sim 10^{-21}$  с) времени быстрой стадии  $\tau_{cas}$  протон-ядерного взаимодействия. При расчетах стадии мультифрагментного развала используется статистическая модель мультифрагментации (СММ), развитая в работах<sup>12</sup>. В этой модели считается, что вероятность канала распада пропорциональна его статистическому весу. Предполагается, что в каждом канале устанавливается термодинамическое равновесие, т.е. энергия равномерно распределяется по внутренним и внешним степеням свободы фрагментов. Это, в свою очередь, позволило ввести понятие температуры канала и использовать термодинамические соотношения. Был предложен простой рецепт вычисления этих соотношений, опирающийся на жидкокапельное описание, обобщенное на случай конечных температур.

В КФИМ имеются два варьируемых параметра, определяющие долю энергии, передаваемую на внутренние степени свободы фрагментов и свободный объем, доступный их трансляционному движению. Реализованная в виде монте-карловской программы КФИМ позволила успешно описать значительный объем экспериментальной информации о процессах фрагментации ядер.

Обсуждаемые экспериментальные данные приведены в таблице и на рис.1,2 в сравнении с результатами расчетов по КФИМ (статистические ошибки сравнимы с размерами кружков на рисунках).

В таблице представлены средние множественности различных типов заряженных частиц, образованных в  $^{16}\text{O}$ -соударениях при 3,1 А ГэВ/с; здесь  $n_+$  означает множественность положительно заряженных частиц

с зарядом  $i$ ,  $\langle n_+ \rangle = \sum_{i=2}^8 \langle n_i^+ \rangle$ ,  $\langle \pi^- \rangle$  — множественность "вновь" рожденных отрицательных частиц ( $\pi^-$ -мезонов) и  $\langle n_{ch} \rangle = \langle \pi^- \rangle + \langle n_+ \rangle$ . Нормировка сделана на общее число неупругих событий. Видно, что при рассматриваемых энергиях средняя множественность отрицательных пионов мала, основной вклад в множественность заряженных частиц дают положительно заряженные продукты фрагментации ядра кислорода, среди которых велико число однозарядных частиц. Что касается многозарядных ( $i > 2$ ) фрагментов, их множественность имеет характерную  $i$ - зависимость — она максимальна для двухзарядных частиц,

Таблица. Средние множественности заряженных частиц, образованных в  $^{16}\text{O}$ -взаимодействиях при 3,1 А ГэВ/с

	Эксперимент	КФИМ
$\langle \pi^- \rangle$	$0,296 \pm 0,004$	$0,314 \pm 0,003$
$\langle n_1^+ \rangle$	$3,493 \pm 0,015$	$3,366 \pm 0,013$
$\langle n_2^+ \rangle$	$0,616 \pm 0,007$	$0,523 \pm 0,005$
$\langle n_3^+ \rangle$	$0,103 \pm 0,003$	$0,112 \pm 0,002$
$\langle n_4^+ \rangle$	$0,052 \pm 0,002$	$0,106 \pm 0,002$
$\langle n_5^+ \rangle$	$0,066 \pm 0,002$	$0,123 \pm 0,002$
$\langle n_6^+ \rangle$	$0,151 \pm 0,003$	$0,210 \pm 0,003$
$\langle n_+ = \sum_{i=1}^8 n_i^+ \rangle$	$4,916 \pm 0,016$	$4,751 \pm 0,013$
$\langle n_{fr} = \sum_{i=2}^8 n_i^+ \rangle$	$1,423 \pm 0,005$	$1,385 \pm 0,005$
$\langle n_{ch} \rangle$	$5,214 \pm 0,018$	$5,065 \pm 0,014$

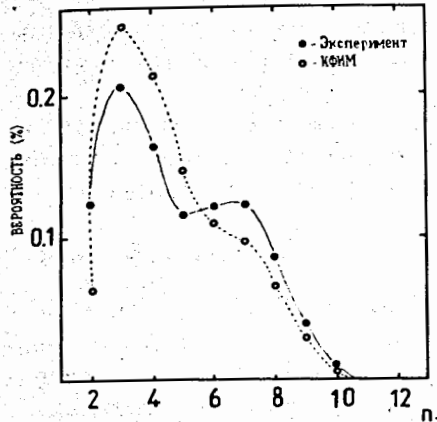


Рис.1. Распределение по множественности положительно заряженных частиц  $n_+$ , образовавшихся в  $^{16}\text{O}$ -взаимодействиях при 3,1 А ГэВ/с (кривые приведены для наглядности).

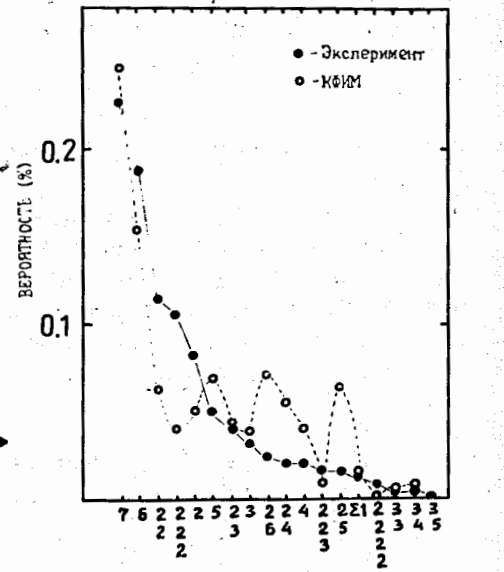


Рис.2. Топологии фрагментов из  $^{16}\text{O}$ -взаимодействий (кривые приведены для наглядности).  $\Sigma 1$  означает события, в которых все вторичные частицы однозарядные.

затем падает с  $i$  до минимума при  $i \cong Z/2 = 4$  и далее возрастает вплоть до максимально возможных значений зарядов фрагментов. КФИМ недооценивает среднюю множественность двухзарядных частиц и существенно переоценивает множественность фрагментов с  $i \geq 4$ , в то же время модель описывает качественно особенности данных.

На рис.1 представлено распределение по множественности положительно заряженных частиц. В эксперименте оно имеет два максимума. Анализ показывает, что в первый из них ( $n_+ = 3$ ) значительный вклад дают периферические  $^{16}\text{O}$ -соударения, в которых мало число рожденных отрицательных пионов (либо они вовсе отсутствуют) и в конечном состоянии реакции имеется более или менее тяжелый фрагмент. Что касается второго максимума ( $n_+ = 7$ ), сюда дают вклад как периферические, так и "центральные"  $^{16}\text{O}$ -соударения. Во втором случае, наряду с небольшим числом рожденных частиц, в конечном состоянии реакции остаточное ядро испытывает мультифрагментный развал. В модели второй максимум в  $n_+$ -распределении отсутствует, и вероятность появления в конечном состоянии реакции тяжелого фрагмента значительно выше, чем в эксперименте.

Наконец, на рис.2 представлены вероятности осуществления различных каналов фрагментации или, как иногда говорят, топологии фрагментов в конечном состоянии  $^{16}\text{O}$ -взаимодействий при 3,1 А ГэВ/с. Эти данные наиболее полно характеризуют изучаемую реакцию. В эксперименте в  $(34 \pm 1)\%$  случаев в конечном состоянии  $^{16}\text{O}$ -взаимодействий наблюдается два или более фрагментов с зарядами  $i \geq 2$  (с суммарным зарядом фрагментов  $Z \geq 4$ ), что очень близко к теоретическому значению  $(36 \pm 1)\%$  (в расчете за образование таких фрагментов, в основном, ответствен механизм фермиевского разрыва). Однако топологии фрагментов в этих случаях в модели и в эксперименте существенно различаются. Так, в эксперименте вероятность наблюдения двух или трех двухзарядных частиц в конечном состоянии вдвое больше, чем предсказывается моделью, а вероятность наблюдения четырех двухзарядных частиц почти на порядок больше теоретического значения. В то же время вероятность того, что в конечном состоянии реакции частица с зарядом 2 сопровождается более тяжелым фрагментом, в модели в 2-3 раза больше, чем на опыте. В модели, в отличие от эксперимента, вероятность осуществления конечного состояния возрастает с увеличением массы сопровождающего двухзарядную частицу фрагмента.

Таким образом, представленные нами данные показывают, что в  $^{16}\text{O}$ -взаимодействиях при 3,1 А ГэВ/с со значительной вероятностью наблюдается мультифрагментный развал ядер кислорода. Сравнение данных с предсказаниями КФИМ показывает, что в эксперименте множественное образование двухзарядных частиц происходит значительно чаще. Мы полагаем, что в значительной мере это расхождение связано с особенностью структуры ядра кислорода. В частности, хорошо известно, что в легких ядрах важную роль играет кластеризация нуклонов в  $\alpha$ -частицы. С этой точки зрения увеличение вероятности каналов фрагментации с образованием нескольких  $\alpha$ -частиц представляется вполне естественным, и, по-видимому, при расчете  $^{16}\text{O}$ -взаимодействий необходимо учитывать эту особенность на всех стадиях процесса.

#### ЛИТЕРАТУРА

1. Hufner J. — Phys. Rev., 1985, 125, p.129;  
Lynch W.G. — Ann. Rev. Nucl. Part. Sci., 1987, 37, p.493;  
Тонеев В.Д. и др. — ЭЧАЯ, 1986, т.17, p.1093.
2. Bondorf J.P. et al. — Nucl. Phys., 1985, A443, p.321; 1985, A444, p.460;  
1986, A448, p.753;  
Ботвина А.С., Ильинов А.С., Мищустин И.И. — ЯФ, 1985, с.1127;  
препринт ИЯИ АН СССР, П-0490, М., 1986.  
Botvina A.S., Iljinov A.S., Mishustin I.N. — Nucl. Phys., 1987, A475, p.663.

3. Глаголев В.В. и др. — Препринт ОИЯИ Р1-89-218, Дубна, 1989.
4. Botvina A.S., Iljinov A.S., Mishustin I.N. — Nucl. Phys., 1990, A507, p.649.
5. Барашенков В.С. и др. — УФН, 1973, 109, с.191.

Рукопись поступила в издательский отдел  
17 декабря 1990 года.